



# کارآیی روش ژئوپدولوژی در نقشهبرداری خاکهای

## زراعی اراضی پایاب سد آیدوغموش میانه

فصلنامه بوم‌شناسی گیاهان زراعی

جلد ۱۲، شماره ۱، صفحات ۹-۲۲۳

(بهار ۱۳۹۵)

### محمدحسن مسیح‌آبادی

استادیار گروه خاکشناسی  
واحد علوم و تحقیقات  
دانشگاه آزاد اسلامی  
تهران، ایران  
نشانی الکترونیک: [hmasih@yahoo.com](mailto:hmasih@yahoo.com)

### شهرلا محمدی

استاد گروه خاکشناسی  
واحد علوم و تحقیقات  
دانشگاه آزاد اسلامی  
تهران، ایران  
نشانی الکترونیک: [smahmodi@ut.ac.ir](mailto:smahmodi@ut.ac.ir)

### ناصر نظری\*

استادبار گروه خاکشناسی  
دانشکده کشاورزی و منابع طبیعی  
واحد میانه  
دانشگاه آزاد اسلامی  
میانه، ایران  
نشانی الکترونیک: [nas.nazari@gmail.com](mailto:nas.nazari@gmail.com)

\* مسئول مکاتبات

**چکیده** یکی از روش‌های سیستماتیک برای تجزیه و تحلیل سطوح ژئومرفیک در نقشهبرداری خاک که عملیات صحرایی را عمدتاً بر مبنای کار در منطقه نمونه پایه‌ریزی می‌کند، روش ژئوپدولوژی می‌باشد. هدف این تحقیق تعیین میزان اعتبار تعمیم‌پذیری نتایج حاصل از روش ژئوپدولوژی برای اشکال اراضی مشابه در منطقه میانه-استان آذربایجان‌شرقی بود. به این منظور مطالعه تفرق خاک با استفاده از اندازه‌گیری آن در یک توالی سلسله‌مراتبی از سطوح رده‌بندی خاک و مقایسه‌ی واحدهای مشابه در روش ژئوپدولوژیک با استفاده از شاخص‌های تفرق صورت گرفت. پس از تهیه نقشه تفسیری اولیه روی عکس‌های هوایی با مقیاس ۱:۲۰۰۰۰، واحد HPu211 که بیشترین مساحت از محدوده مطالعاتی را دربرمی‌گرفت، انتخاب گردید و تعداد ۱۵ پروفیل خاک با فواصل تقریبی ۱۵۰ متر در این واحد، حفر، تشریح و نمونه‌برداری شدند. میزان قابلیت تعمیم نتایج روش ژئوپدولوژی برای واحد مزبور، از طریق حفر نه پروفیل خاک دیگر در یک واحد مشابه موجود در خارج از منطقه‌ی نمونه که منطقه تعمیم نامیده شده است، مورد بررسی قرار گرفت. بر اساس نتایج شاخص تفرق شانز از سطح رده به سمت فامیل خاک، در هر دو منطقه نمونه و تعمیم، افزایش می‌یابد؛ لیکن تنها در سطح فامیل، تفاوت معنی‌داری بین میانگین تفرق خاک‌های دو منطقه در سطح اعتماد ۹۵٪ وجود دارد. افزایش تفرق خاک‌ها در خلال سلسله مراتب رده‌بندی خاک، حتی با تغییر مقیاس درک و تمرکز بر توالی افق‌های ژنتیکی پروفیل‌های حفر شده در مناطق نمونه و تعمیم نیز به اثبات رسید. بنابراین، به منظور افزایش دقیق نتایج روش ژئوپدولوژی، استفاده از فازهای لندرفرم‌ها و نیز تعیین فاز خانواده خاک و یا فاز سری خاک برای هر یک از حالت‌های لندرفرم توصیه می‌شود.

### شناسه مقاله:

نوع مقاله: پژوهشی

تاریخ پژوهش: ۱۳۹۲

تاریخ دریافت: ۹۳/۰۷/۱۲

تاریخ پذیرش: ۹۴/۱۲/۱۸

### واژه‌های کلیدی:

① تفرق خاک

② سطوح ژئومرفیک

③ لندرفرم

④ نقشه خاک

⑤ منطقه تعمیم

⑥ منطقه نمونه

و سرزمین را نشان می‌دهند؛ آن گاه می‌توان کیفیت آنها را در رویارویی با واقعیت بررسی کرد. به طور کلی کیفیت نقشه، تابعی از سه ویژگی قابل اعتماد بودن اطلاعات<sup>۶</sup>، میزان ارتباط اطلاعات با اهداف<sup>۷</sup>، و نحوه ارایه اطلاعات<sup>۸</sup> می‌باشد.<sup>[۲]</sup> البته، وسترن<sup>۹</sup> ویژگی دیگری را نیز تحت عنوان کاربرد اطلاعات<sup>۱۰</sup> مدنظر قرار داده است.<sup>[۱۸]</sup> الگوی ستی<sup>۱۱</sup> یا معمول<sup>۱۲</sup> مطالعات شناسایی و نقشهبرداری خاک، بر اساس میزان توانایی و تجربه کارشناسان در تفسیر فرآیندهای اصلی خاکسازی و فاکتورهای محیطی دخیل در تشکیل سیمای سرزمین<sup>۱۳</sup> و یا سیمای خاک پایه‌ریزی شده است. بنابراین، داده‌ها و نقشه‌های استخراج شده از چنین الگویی، معمولاً ناتوانی مطالعات خاک در تشریح ساختار خصوصیات دینامیکی و ممتد<sup>۱۴</sup> سیمای سرزمین را آشکار می‌سازند.<sup>[۲۰]</sup> از سوی دیگر، انجام نمونه‌برداری‌های زیاد به منظور بالا بردن دقت نقشه‌برداری یا پنهان‌بندی

**مقدمه** دیدگاه ژئوپدالوژیک، یک روش سیستماتیک تجزیه و تحلیل سطوح ژئومرفیک است که سعی دارد با بررسی جامع روابط خاک و ژئومرفولوژی و برهم‌کشن آنها اقدام به نقشه‌برداری خاک نماید و کوچکترین واحد نقشه را که دارای بالاترین مراتب همگنی و یکنواختی از نظر شکل اراضی، سنگ‌شناسی و خاک می‌باشد، تفکیک و معرفی کند به خصوص اگر رابطه بین ژئومرفولوژی و خاک‌های آن منطقه، به خوبی تعریف شده باشد.<sup>[۱۱]</sup>

به طور کلی، هدف اصلی در ژئوپدالوژی، سازماندهی و طبقه‌بندی خاک‌ها یا پدون‌ها بر اساس شواهد ژئومرفولوژیکی آنها در سطح زمین و استفاده از یک ساختار سلسله‌مراتبی می‌باشد.<sup>[۲۱]</sup> که معمولاً چهار سطح طبقاتی مختلف شامل سیمای اراضی<sup>۱</sup>، پستی و بلندی<sup>۲</sup>، سنگ‌شناسی<sup>۳</sup> و شکل اراضی<sup>۴</sup> را در این ساختار مدنظر قرار قرار می‌دهند.<sup>[۱۱]</sup> این روش بر اساس میزان درستی فرضیه‌های زیر استوار است. خاک‌ها در سطوح پایین‌تر سلسله‌مراتب ژئوپدالوژی، از یکنواختی بیشتری برخوردار هستند. سطوح پایین‌تر سلسله‌مراتب ژئوپدالوژی، بیانگر یکسانی واحدهای همنام در منطقه می‌باشدند. مرزهای ترسیم شده توسط تجزیه و تحلیل سیمای سرزمین، عملدهی تغییرات موجود در خاک‌ها را جدا می‌کنند. منطقه نمونه<sup>۵</sup>، نماینده درست و واقعی واحدهای مورد مطالعه می‌باشد؛ به طوری که بر اساس الگوی خاک موجود در آن می‌توان واحدهای بازدید نشده را برونویابی کرد.<sup>[۱۱،۲۱]</sup>

منظور از منطقه نمونه، کوچکترین سطحی است که تمام یا بخش‌هایی از انواع واحدهای اراضی تفکیک شده در محدوده‌ی مورد مطالعه را پوشش دهد. به عبارت دیگر، منطقه نمونه را بایستی طوری روی نقشه تفسیری اولیه طراحی نمود که از هر کدام از واحدهای تفکیک شده، حداقل یک واحد در آن وجود داشته باشد. چگونگی تعیین این منطقه، از طریق تفسیر عکس‌های هوایی و نیز بر اساس محیط ژئولوژیکی، سیمای اراضی، نوع توپوگرافی، نوع ماده مادری و قابلیت دسترسی به واحدهای تفکیک شده انجام می‌گیرد.<sup>[۱۷]</sup> منطقه نمونه، حدود ۱۰٪ از کل منطقه مطالعاتی را می‌پوشاند؛ ولی اگر همه سیمای اراضی حالت یکنواخت داشته باشد، کمتر از ۱۰٪ نیز قابل قبول است.<sup>[۱۱]</sup> کیفیت هر کار یا ابزاری، هنگام به کارگیری آن مشخص می‌شود. بنابراین، اگر نقشه‌های خاک را ابزاری بدانیم که ویژگی‌های خاک

<sup>6</sup> reliability

<sup>7</sup> relevance

<sup>8</sup> presentation

<sup>9</sup> western

<sup>10</sup> application

<sup>11</sup> traditional

<sup>12</sup> conventional

<sup>13</sup> landscape

<sup>14</sup> continuum

<sup>1</sup> landscape

<sup>2</sup> relief

<sup>3</sup> lithology

<sup>4</sup> landform

<sup>5</sup> sample area

ایانز و همکاران (۱۹۹۵) برای اولین بار استفاده از شاخص‌های تنوع اکلولوژیکی را به عنوان معیارهای اندازه‌گیری تفرق خاک معرفی نمودند. این شاخص‌ها شامل غنی‌شدگی<sup>۶</sup>، همواری<sup>۷</sup> و تفرق<sup>۸</sup> بودند. غنی‌شدگی، در ارتباط با تعداد پدیده‌های موجود مانند تعداد کلاس‌های خاک در یک سطح مشخص از سامانه‌ی رده‌بندی خاک در یک منطقه مطالعاتی می‌باشد. همواری، بیانگر فراوانی نسبی هر کدام از پدیده‌های موجود مانند مساحت نسبی اشغال شده توسط هر کاتاگوری خاک است. تفرق، شاخصی است که در برگیرنده‌ی هر دو شاخص غنی‌شدگی و همواری است و وجود شاخص‌های غنی‌شدگی و همواری بزرگ‌تر، دلیلی بر وجود تفرق بیشتر می‌باشند.<sup>[۵,۷]</sup> تفرق خاک را می‌توان از دیدگاه‌های مختلف، شامل تفرق رده‌بندی خاک<sup>۹</sup>، تفرق ژنتیکی خاک<sup>۱۰</sup>، تفرق کارکردی خاک<sup>۱۱</sup> و تفرق ویژگی‌های خاک<sup>۱۲</sup>، مورد تجزیه و تحلیل قرار داد.<sup>[۱۳,۱۴]</sup> نتایج پژوهش ایانز و

و تخمین خصوصیات مورد نظر خاک، اجتناب‌ناپذیر است که این نیز خود مستلزم صرف زمان و هزینه‌های زیادی می‌باشد.<sup>[۴]</sup> به همین منظور، در راستای کاهش هزینه و زمان اجرای مطالعات خاک‌شناسی و نیز افزایش دقت آن‌ها، روش ژئوپد‌لوژی اولین بار توسط زینک در اینستیتو بین‌المللی هلند<sup>۱</sup> پایه‌گذاری شده است.<sup>[۲۱]</sup> روزی‌تر (۲۰۰۰) اعتقاد دارد این روش برای مطالعات نیمه‌تفصیلی کاربرد فراوانی دارد. در این روش از پنج فاکتور خاک‌سازی، سه عامل زمان، مواد مادری و توپوگرافی برای جداکردن واحدهای خاک استفاده می‌گردد به طوری که با بررسی لیتو‌لوژی منطقه مواد مادری و سن آن‌ها شناسایی می‌گردد.<sup>[۱۱]</sup> از آنجایی که هر کدام از روش‌های نقشه‌برداری، متکی به نگرش خود نسبت به شباهت بین خاک‌هاست، توجه به مسایلی همچون شاخص‌های شباهت<sup>۱۲</sup>، تفرق خاک‌ها<sup>۱۳</sup> و جنبه‌های مختلف آن‌ها می‌تواند به منظور انجام قضاوتهای کیفی و کمی در رابطه با میزان اعتبار و کیفیت یک نقشه‌ی خاک، مفید واقع شود.<sup>[۱۵]</sup>

افزایش انراض گونه‌ها در اثر فشار ناشی از فعالیت‌های انسانی بر روی محیط، تمایل شدید پژوهشگران به موضوع ارزیابی و نگهداری تنوع زیستی<sup>۴</sup> را در طی سال‌های اخیر به دنبال داشته است.<sup>[۵]</sup> در نتیجه، بوم‌شناسان با به کارگیری شاخص‌ها و مدل‌های تنوع، فاکتورهای در برگیرنده‌ی ساختار و سازمان اکوسیستم‌ها را در سطوح مختلف تفکیک مکانی، مطالعه نموده‌اند. علی‌رغم پتانسیل زیاد این شاخص‌ها، در موارد نادر، از این راه‌کارها به منظور مطالعه‌ی ساختارهای غیرزنده‌ی سیمای اراضی استفاده شده است. در همین حال، چنین راه‌کارهایی ممکن است به منظور کشف، کمی‌سازی و مقایسه‌ی پیچیدگی الگوهای خاکی موجود در محیط‌ها و مناطق مختلف، مورد استفاده قرار گیرند. بنابراین، توجه به مفهوم تفرق خاک مهم می‌باشد؛ زیرا عمده‌تاً به عنوان یک ویژگی از یک جامعه‌ی طبیعی سازمان یافته محسوب می‌گردد که در طی فرآیندهای تکامل اکلولوژیکی، حادث می‌شود.<sup>[۷]</sup> به طور کلی، تفرق خاک را می‌توان به عنوان معیاری از تغییرپذیری خاک و یا تابعی از فاکتورهای خاک‌سازی تعریف نمود.<sup>[۱۰]</sup>

در دهه‌های اخیر، استفاده از شاخص‌های تنوع زیستی، مانند شاخص شانن<sup>۵</sup>، در راستای انجام مطالعات تفرق خاک، مورد توجه قرار گرفته است.<sup>[۵,۸]</sup>

<sup>6</sup> richness

<sup>7</sup> evenness

<sup>8</sup> diversity

<sup>9</sup> taxonomic pedodiversity

<sup>10</sup> genetic pedodiversity

<sup>11</sup> functional pedodiversity

<sup>12</sup> diversity of soil properties

<sup>1</sup> Faculty of Geo-Information Science and Earth Observation of the University of Twente (ITC)

<sup>2</sup> similarity indices

<sup>3</sup> pedodiversity or soil diversity

<sup>4</sup> biodiversity

<sup>5</sup> Shannon index

مراتبی از سطوح رده‌بندی خاک و مقایسه واحدهای مشابه در روش ژئوپدولوژیک با شاخص‌های تفرق به منظور بررسی میزان اعتبار تعمیم‌پذیری نتایج این روش برای اشکال اراضی مشابه در منطقه میانه بود.

## مواد و روش‌ها

**منطقه مطالعاتی و جمع‌آوری داده**  
با توجه به وضعیت توپوگرافی، زمین‌شناسی و ژئومورفولوژی موجود در استان آذربایجان شرقی و شهرستان میانه که تکرار پذیری اشکال اراضی در آن‌ها به وفور دیده می‌شود؛ بنابراین، منطقه مناسب برای دسترسی به اهداف تحقیق، در این شهرستان مورد بررسی قرار گرفت و در نهایت منطقه‌ای به مساحت تقریبی ۱۵۰۰ هکتار و ارتفاع متوسط ۱۱۰۰ متر از سطح دریا، واقع در پنج کیلومتری جنوب‌شرقی شهر میانه انتخاب شد. این منطقه بر حسب یا سامانه تصویر جهانی مرکاتور<sup>۲</sup> در حد فاصل طول‌های جغرافیایی ۷۴۷۳۶۹/۴۰ تا ۷۴۰۰۰۰/۹۰ شرقی و عرض‌های جغرافیایی ۴۱۳۸۱۱۳ تا ۴۱۴۳۴۰۳ متر شمالی قرار گرفته و دارای میانگین بارش سالانه ۳۱۵/۷ میلی‌متر و متوسط دمای سالیانه ۱۰/۹ درجه سلسیوس

همکاران (۱۹۹۵) نشان داد که با افزایش سطح نمونه‌برداری، میزان غنی‌شدگی طبقات خاک افزایش می‌یابد و در نتیجه می‌توان تصور نمود که تنوع زیستی و تفرق خاک، دارای رفتار مشابهی هستند.<sup>[۷]</sup> ایانز و همکاران (۱۹۹۱) نشان دادند که مقدار شاخص‌های همواری و تفرق برای نواحی اقلیمی موجود در عرض‌های جغرافیایی متوسط، بیشتر از عرض‌های پیرامون مدارهای استوا و شمالی می‌باشد و نتیجه گرفتند که الگوهای خاکی نواحی اقلیمی مختلف، بر اساس یک گردایان وابسته به عرض جغرافیایی، کاملاً به یکدیگر اتصال دارند.<sup>[۸]</sup> سالانا و ایانز (۲۰۰۴) با کاربرد شاخص‌های غنی‌شدگی و تفرق برای یک ردیف زمانی<sup>۱</sup> خاک تکامل یافته بر روی تراس‌های رودخانه‌ای موجود در شمال شرقی مادرید-اسپانیا-ملحظه کردند که غنای خاک، از سمت تراس پایینی جوانتر به سمت تراس بالای مسن‌تر افزایش می‌یابد. به علاوه، ایشان بیان کردند که با افزایش دقت طبقه‌بندی و نیز زیاد شدن مساحت مطالعاتی، تفرق خاک بیشتر می‌گردد. همچنین، نتایج تحقیق آن‌ها حاکی از آن بود که تفرق رده‌بندی خاک، متناسب با افزایش سن تراس‌ها زیاد می‌شود؛ در حالی که تفرق ژنتیکی آن، با افزایش سن تراس‌ها کاهش می‌یابد.<sup>[۹]</sup> تومانیان و همکاران (۲۰۰۶) با استفاده از یک روش سلسله مراتبی ژئومرفیک، تفرق رده‌بندی و ژنتیکی خاک را برای دره‌ی زاینده‌رود مورد بررسی قرار دادند. نتایج نشان داد که با پایین رفتن از سطح سیمای اراضی به سمت سطوح ژئومرفیک، شاخص تفرق شانن افزایش می‌یابد. همچنین، توالی افق‌های خاک در سطح فامیل نشان داد که فامیل‌های خاک، دارای شاخص‌های تفرق بالای در درون سطوح ژئومرفیک هستند.<sup>[۱۰]</sup>

در هر حال، زمانی که جوامع مورد مطالعه، از تفاوت بسیار زیادی برخوردارند؛ امکان معنادار نبودن مقایسه‌ی شاخص‌های تفرق وجود دارد. همچنین، شاخص‌های تفرق معمولاً از تغییرپذیری لازم برای مکان‌هایی که دارای گونه‌های مشابه اما با نسبت‌های متفاوت هستند، برخوردار نیستند. در چنین مواردی، کاربرد شاخص‌های شباهت می‌تواند موجب رفع کاستی‌های مذکور شود.<sup>[۱۱]</sup> این که تعمیم‌پذیری نتایج داده‌های خاک منطقه نمونه به خارج از آن، چقدر می‌تواند مفید باشد و واقعیت صحرا را به نمایش گذارد، موضوعی است که باید در مطالعات مختلف مورد آزمون قرار گرفته و قابلیت کاربرد روش ژئوپدولوژی، ارزیابی شود. هدف از پژوهش حاضر، مطالعه تفرق خاک با اندازه‌گیری آن در یک توالی سلسله-

<sup>2</sup> Universal Transverse Mercator (UTM)

<sup>1</sup> chronosequence

**مطالعات صحرایی و نمونه‌برداری**  
 واحدهای ژئومورفیک موجود در منطقه با استفاده از تفسیر عکس‌های هوایی و روش ژئوپیدولوژیک با مقیاس ۱:۲۰۰۰۰ و با کمک نقشه‌های توپوگرافی و زمین‌شناسی در سطوح مختلف تفکیک شدند. سپس مطالعات خاک‌شناسی از طریق انتخاب مناطق نمونه<sup>۱۰</sup> در بطن منطقه انجام شد. مناطق نمونه طوری انتخاب شدند که حداقل یک نقطه مشاهداتی در هر واحد نقشه حفر و مطالعه شود. مناطق نمونه به صورت تفصیلی مورد مطالعه قرار گرفتند. در خارج از مناطق نمونه، کار به نحوی انجام شد که هر واحد مجزا شده روی نقشه خاک در عملیات میدانی مورد بررسی قرار گرفته و چنانچه واحد جدیدی مشاهده شود که سری خاک آن با سری خاک تعیین شده در مناطق نمونه مغایرت داشته باشد، با حفر و مطالعه نقاط مشاهداتی نسبت به تعیین خصوصیات سری خاک جدید اقدام شود. پس از تشریح پروفیل‌ها، از افق‌های مشخصه نمونه‌برداری و برای انجام تجزیه شیمیایی و فیزیکی به آزمایشگاه منتقل شدند.  
 طی عملیات صحرایی، ابتدا مرز

می‌باشد. رژیم رطوبتی و حرارتی خاک منطقه مطالعاتی براساس روش فرانکلین نیوهال<sup>۱</sup> و روش توسعه یافته آن<sup>۲</sup> به ترتیب، زریک خشک<sup>۳</sup> و مزیک<sup>۴</sup> هستند. منطقه مورد مطالعه، چهار سیمای سرزمینی مختلف شامل اراضی تپه‌ماهوری<sup>۵</sup> و پیدمونت<sup>۶</sup>، دره<sup>۷</sup> و پلاتوهای مرتفع<sup>۸</sup> را دربرمی‌گیرد. پلاتو، بخش اعظم این منطقه را تشکیل می‌دهد که کنار جاده اختصاصی فولاد آذربایجان (جاده میانه-میاندوآب) قرار گرفته است.

در این مرحله، تمام لوازم و اطلاعات مورد نیاز برای تهیه نقشه ژئوپیدولوژیک منطقه شامل عکس‌های هوایی به مقیاس ۱:۲۰۰۰۰، نقشه‌های توپوگرافی به مقیاس ۱:۲۵۰۰۰ و نقشه‌های زمین‌شناسی به مقیاس ۱:۱۰۰۰۰ جمع‌آوری شد.

#### تهیه نقشه تفسیری اولیه (نقشه ژئوفرم) منطقه مطالعاتی

این تفسیر، براساس دیدگاه ژئومورفیک و با توجه به سطوح طبقاتی ارائه شده توسط زینک (۱۹۱۹) به صورت مرحله‌ای روی عکس‌های هوایی با مقیاس "۱:۲۰۰۰۰"<sup>۹</sup> انجام پذیرفت.<sup>[۲۱]</sup> در این روش برای تحقیک واحدها از ارتباط خاک-سرزمین استفاده شد و براساس دانش ژئومرفولوژی و با در نظر گرفتن فاکتورهای زمین-شناختی، توپوگرافی و پوشش گیاهی، توزیع و پراکنش اشکال اراضی یک‌نواخت حاصل گردید. سپس عکس‌های هوایی با در نظر گرفتن عواملی از قبیل زمینه عکس‌ها، وضع کرتبندي اراضي، وضع ظاهری اراضي، شيب، پستي و بلندی، فرسايش و شبکه‌های زهکشي طبیعي اراضي و با استفاده از استريوسکوپ آئينه‌دار تفسیر شده، اسکن و وارد محیط نرمافزار ايلویس<sup>۹</sup> گردیدند. در مراحل بعد، عکس‌های وارد شده به محیط نرمافزار ايلویس، با استفاده از نقاط مرجع برداشت شده در صحراء و همچنین با کمک گرفتن از تصاویر ماهواره‌ای ETM+ و Aster منطقه مورد مطالعه، زمین مرجع شدند. در نهايىت، با رقومى كردن مرزهای ترسیم شده روی تک‌تک عکس‌ها، نقشه اولیه اشکال اراضی منطقه مورد مطالعه به دست آمد. در نهايىت، مرز واحدهای موجود در نقشه تفسیری اولیه در طی عملیات صحرایی، بازبینی و تصحیح گردید.

<sup>1</sup> Franklin Newhall, NSM

<sup>2</sup> A Vanvambeke

<sup>3</sup> dry xeric

<sup>4</sup> mesic

<sup>5</sup> hilland

<sup>6</sup> piedmont

<sup>7</sup> valley

<sup>8</sup> higher plateaueax

<sup>9</sup> ILWIS 3.4

<sup>10</sup> sample areas

جدول ۱) واحدهای تشخیص داده شده در منطقه مطالعاتی به روش ژئوپدالولژی، همراه با مساحت هر کدام از آنها

Table 1) Units identified in the study area by geopedological approach, along with an area for each them

Landscape	Relief	Lithology	Landform	Area(ha)
H <sub>i</sub> Hilland	H <sub>i</sub> 1 low-lying hills	H <sub>i</sub> 11 Alternation of marl and metamorphosed marly limestone	H <sub>i</sub> 111: A combination of shoulder and back slope	44.8
		H <sub>i</sub> 13 Alluvial fans and Young alluvial terraces	H <sub>i</sub> 112: Foot slope	52.92
			H <sub>i</sub> 131: A combination of shoulder and back slope	5.30
			H <sub>i</sub> 132: Foot slope	4.72
P <sub>i</sub> Piedmont	P <sub>i</sub> 2 Fan-shaped alluvium	P <sub>i</sub> 23 Alluvial deposits of limestone and dolomite	P <sub>i</sub> 231: Active fan	234.25
	Pi3 Connections of fans	P <sub>i</sub> 32 Dolomite and limestone	P <sub>i</sub> 232: stream terraces covered by a Green meadow	76.21
			P <sub>i</sub> 321: Dense network of surface drainage	211.33
V <sub>a</sub> Valley	V <sub>a</sub> 2 River bed	V <sub>a</sub> 21 River sediments	Va21: Set of stack and river terrace	2.75
HP <sub>u</sub> Higher plateau	HP <sub>u</sub> 2 Mesa	HP <sub>u</sub> 21 Calcareous alluvial sediments	HP <sub>u</sub> 211: High and flat plateau	412.55

شده و پس از هوا خشک نمودن نمونه‌های برداشت شده، آنالیزهای آزمایشگاهی لازم بر روی آنها صورت گرفت. در نهایت، رده‌بندی خاک‌ها تا سطح فامیل و سری بر اساس نتایج آزمایشگاهی نهایی گردید.

#### مطالعات تفرق خاک‌ها

اهمیت غیریکنواختی سیمای اراضی و شناسایی تفرق خاک، در مطالعات مختلف مدنظر قرار گرفته‌اند.<sup>[۷،۸،۱۲،۱۶]</sup> در این پژوهش، تفرق رده‌بندی خاک در سطوح مختلف (رده، زیررده، گروه بزرگ، زیرگروه و فامیل) و تفرق ژنتیکی آن در سطوح افق‌ها برای مناطق نمونه و تعیین، مورد بحث قرار گرفته است. تجزیه و تحلیل تفرق خاک‌ها از

واحدهای موجود در نقشه تفسیری اولیه، بازبینی و تصحیح شدند. سپس به منظور نمونه‌برداری از خاک، براساس اصول بیان شده برای تعریف منطقه نمونه در روش ژئوپدالولژی، بخشی از کل منطقه مطالعاتی موجود در نقشه تفسیری به عنوان منطقه نمونه انتخاب شد. به طوری که از انواع واحدهای نقشه تفسیری اولیه، حداقل یک مورد از هر کدام در این منطقه نمونه وجود داشت.

موقعیت واحد HPu211 که تکرار پذیری خوبی را در منطقه نشان می‌داد و نیز بالاترین سطح از محدوده مطالعاتی را دربر می‌گرفت (جدول ۱)، متفاوت در نظر گرفته شد. براساس روش نمونه‌برداری شبکه‌ای<sup>۱</sup> و در قالب مطالعات خاک‌شناسی ردۀ دوم<sup>[۱]</sup> اقدام به حفر پروفیل‌هایی به طول ۲، عرض ۱ و عمق ۱/۵ و با فواصل ۱۵۰ متر از یکدیگر شد؛ به طوری که تعداد ۱۵ پروفیل در واحد HPu211 حفر گردید. میزان اعتبار تعیین‌پذیری نتایج روش ژئوپدالولژی برای واحد HPu211، از طریق حفر نه پروفیل دیگر در یک واحد مشابه موجود در خارج از منطقه نمونه که منطقه تعیین<sup>۲</sup> نامیده شده است، مورد بررسی قرار گرفت.

در نهایت، تمامی پروفیل‌های حفر شده، براساس راهنمای تشریح و نمونه‌برداری خاک‌ها در صحرا<sup>[۱۴]</sup> تشریح شده و مطابق کلید رده‌بندی آمریکایی خاک<sup>[۲]</sup> طبقه‌بندی گردیدند. با انجام نمونه‌برداری از افق‌های ژنتیکی تمامی پروفیل‌های حفر

<sup>1</sup> grid sampling

<sup>2</sup> generalization or validation area

است که در آن، توزیع شدیداً غیریکنواختی از فراوانی نسبی گونه‌ها قابل روئیت باشد؛ به عبارت دیگر، زمانی که یک گونه نسبت به کل گونه‌ها غالب باشد.<sup>[۷]</sup> آن گونه که سالانه و ایبانز (۲۰۰۴) اظهار داشتند، اختلافی بین تفرق خاک محاسبه شده از روی سطحی که نمونه‌ها نماینده آن هستند و یا تفرق محاسبه شده از روی تعداد آن‌ها وجود ندارد. در نتیجه، در این مطالعه، تعداد کلاس‌های خاک، برای محاسبه و ارزیابی شاخص‌های تفرق رده‌بندی خاک‌ها و تعداد و توالی افق‌های خاک در هر سطح رده‌بندی، برای محاسبه تفرق ژنتیکی خاک‌ها استفاده شدند.<sup>[۱۳]</sup>

اگر شاخص شانن برای جوامع یا واحدهای مختلف محاسبه گردد، شاخص‌های محاسبه شده از توزیع نرمال تعیت خواهند نمود. این ویژگی، امکان استفاده از آمار کلاسیک در راستای مقایسه‌ی تفرق جوامع مختلف را فراهم می‌سازد. در نتیجه، به منظور آزمون آماری قابلیت اعتماد رویکرد جداسازی واحد تکرارپذیر در دو منطقه نمونه و تعییم، از توزیع  $\alpha$  به صورت زیر استفاده گردید.<sup>[۶]</sup>

$$\text{معادله (۴)} \\ T = \frac{(H_1 - H_2) / (\text{Var}H_1 +$$

طریق محاسبه‌ی شاخص‌های غنی‌شدنی (S)، شانن (H) و همواری (E) برای سطوح مختلف رده‌بندی خاک صورت پذیرفت. تعداد طبقات خاک یا اجزای موجود در هر کدام از دو منطقه نمونه و تعییم، به عنوان شاخص غنی‌شدنی در نظر گرفته شد. شاخص‌های مبتنی بر فراوانی نسبی موجودیت‌های مورد مطالعه، رایج‌ترین روش برای اندازه‌گیری تفرق می‌باشند.<sup>[۹]</sup> یکی از پرکاربردترین شاخص‌های تفرق که در بوم‌شناسی، به عنوان معیاری از غیریکنواختی<sup>۱</sup> ساختار یک جامعه استفاده شده است، شاخص شانن نام دارد.<sup>[۱۳]</sup> معادله این شاخص بسیار شبیه به معادله‌ای است که توسط بولتزمن<sup>۲</sup> برای تعیین آنتروپی سامانه‌های ترمودینامیکی بیان شده است و این دلیلی است بر آن که چرا شاخص شانن را شاخص آنتروپی<sup>۳</sup> بیان نمایدند.<sup>[۷]</sup> بیان ریاضی شاخص شانن به صورت زیر است:

$$\text{معادله (۱)} \\ H = - \sum_{i=1}^n p_i \cdot \ln p_i$$

که  $p_i$  نشانگر نسبت اجزای موجود در واحد آنم است. در حقیقت، مقدار واقعی  $n_i$  نامعلوم می‌باشد و در نتیجه، به جای آن از نسبت  $n_i/N$  استفاده می‌شود که  $n_i$  بیان‌گر تعداد اجزای متعلق به آمین واحدهای می‌باشد و  $N$ ، عبارت از تعداد کل اجزای جمع‌آوری شده است.

حداکثر آنتروپی ممکن ( $H_{\max}$ ) برای شرایط به خصوصی از غنی‌شدنی، در وضعیتی اتفاق می‌افتد که تمام اجزاء یا طبقات مختلف، دارای احتمال برابر باشند.<sup>[۷۸]</sup>

به عبارت دیگر، از نظر ریاضیاتی، زمانی این اتفاق رخ می‌دهد که شرط زیر برقرار باشد:

$$\text{معادله (۲)}$$

$$H = H_{\max} = \ln S$$

تحت چنین شرایطی، نسبت تفرق مشاهده شده به حداکثر تفرق ممکن، به عنوان معیاری از همواری مدنظر قرار می‌گیرد،<sup>[۱۳، ۸، ۷]</sup> که معادله ریاضی آن به صورت زیر می‌باشد:

$$\text{معادله (۳)}$$

$$E = H / H_{\max} = H / \ln S \quad \text{شاخص}$$

همواری می‌تواند دارای هر مقداری بین صفر و یک باشد. عدد یک بیانگر وضعیتی است که در آن تمام گونه‌ها یا موجودیت‌ها دارای احتمال برابر هستند. به عنوان مثال، زمانی که گونه‌ها یک سطح یکسان را اشغال کنند. عدد صفر بیانگر وضعیتی

<sup>1</sup> heterogeneity

<sup>2</sup> Boltzmann

<sup>3</sup> entropy index

مشخص رخ می‌دهد.<sup>[۱۶]</sup>  
مقایسه آماری تفرق رده‌بندی شانن  
HPu211 بین دو واحد مشابه  
موجود در مناطق نمونه و تعمیم،  
شانن داد که بین میانگین تفرق  
خاک‌ها در سطح اعتماد ۹۵٪ برای  
طبقه فامیل تفاوت معنی‌دار وجود  
دارد (جدول ۳). به عبارت دیگر، تا  
سطح زیرگروه، تفرق خاک‌های  
موجود در دو منطقه مزبور، از نظر  
آماری یکسان است؛ لیکن در سطح  
فامیل، به دلیل تغییر در شاخص  
غنى‌شدگی، تفاوت خاک‌های دو  
واحد مشابه HPu211 موجود در  
مناطق نمونه و تعمیم آشکار می‌گردد  
و بالتبع وجود چنین تفاوت‌هایی  
برای سطوح پایین‌تر از فامیل (سری  
و فاز سری) مشخص‌تر خواهد بود.  
افزایش تفرق خاک‌ها در خلال  
سلسله‌مراتب رده‌بندی خاک، حتی  
با تغییر مقیاس درک و تمرکز بر  
توالی افق‌های ژنتیکی خاک‌رخ‌های  
حرف شده در مناطق نمونه و تعمیم  
نیز به اثبات رسید. جداول ۴ تا ۷،  
تفرق ژنتیکی شانن را برای سطوح

$\text{VarH}_2^{1/2}$  که  $\text{H}_i$ ، بیان‌گر شاخص تفرق محاسبه شده برای واحد  $\Lambda^*$  است.  $\text{Var H}_i$ ، نشان-دهنده‌ی واریانس تفرق محاسبه شده برای  $\Lambda^*$  مین واحده باشد که به صورت زیر قابل محاسبه است:

$$\text{VarH}_i = \{[\sum p_i (\ln p_i)^2 - (\sum p_i \ln p_i)^2] / N\} + \{(S-1) / 2N^2\} \quad (5)$$

در چنین شرایطی، درجه آزادی لازم برای قرائت  $\Lambda^*$  جدول، از طریق فرمول زیر به دست می‌آید:

$$d.f = (\text{VarH}_1 + \text{VarH}_2^2 / \{[(\text{VarH}_1)^2 / N_1] + [(\text{VarH}_2)^2 / N_2]\}) \quad (6)$$

که  $N_i$ ، عبارت از تعداد نمونه‌های برداشت شده از واحد  $\Lambda^*$  است.

در صورتی که مقدار  $\Lambda^*$  محاسبه شده، بزرگ‌تر از  $\Lambda^*$  جدول باشد؛ آن‌گاه فرض صفر مبنی بر یکسان بودن میانگین واحد تکرارپذیر (HPu211) در دو منطقه نمونه و تعمیم، رد می‌شود.

**نتایج و بحث** نتایج شاخص‌های تفرق محاسبه شده در سلسله‌مراتب رده‌بندی خاک برای واحد HPu211 موجود در مناطق نمونه و تعمیم در جدول ۲ ارائه شده‌اند. شکل ۱، مقایسه تفرق شانن برای سطوح مختلف رده‌بندی خاک را در دو منطقه مزبور نشان می‌دهد. شاخص تفرق شانن از سطح رده به سمت فامیل خاک، در هر دو منطقه افزایش می‌یابد و این به خاطر افزایش توأم شاخص‌های غنى‌شدگی و همواری در خلال استفاده از اطلاعات مقیاس کوچک‌تر برای تجزیه و تحلیل‌های مقیاس بزرگ‌تر<sup>۱</sup> در سلسله‌مراتب مزبور است.<sup>[۱۶]</sup> ایانز و همکاران (۱۹۹۱)، گور و همکاران (۲۰۰۳) و سالدانا و ایانز (۲۰۰۴) نیز نشان داده‌اند که چگونه شاخص‌های غنى‌شدگی و شانن در خلال سلسله‌مراتب رده‌بندی خاک در مطالعات با مقیاس‌های کوچک و بزرگ افزایش یافته‌اند.<sup>[۱۳۸۵]</sup> نکته قابل توجه در شکل شماره ۱، این است که تا سطح گروه بزرگ، علی‌رغم تعداد پروفیل کم‌تر در منطقه تعمیم نسبت به منطقه نمونه (۱۵ پروفیل)، تفرق رده‌بندی محاسبه شده در منطقه تعمیم، به دلیل وجود همواری بیش‌تر، از منطقه نمونه بالاتر است؛ حال آن که در سطوح زیرگروه و فامیل خاک، این منطقه نمونه است که از تفرق بیش‌تری برخوردار است.

آنتروپی‌های محاسبه شده، نماینده‌ای از ذات درهم و پیچیده انواع خاک‌های موجود در سطوح مختلف رده‌بندی می‌باشند که این طبیعت پیچیده، منتج از ترکیب فرآیندهایی از محیط است که بخشی به صورت تصادفی و بخش دیگر به طور

<sup>1</sup> downscaling

جدول ۲) تجزیه و تحلیل تفرق خاک‌ها برای واحد HPu211 موجود در مناطق نمونه و تعمیم در سطوح مختلف رده‌بندی خاک

Table 2) Pedodiversity analysis for HPu211 unit within sample and validation areas in different categories of USDA soil taxonomy

Category	Location	N	S	H'	H' max	E
Order	Sample area	15	2	0.58	0.69	0.83
	Validation area	9	2	0.67	0.69	0.97
Suborder	Sample area	15	2	0.58	0.69	0.83
	Validation area	9	2	0.67	0.69	0.97
Great group	Sample area	15	3	0.75	1.10	0.69
	Validation area	9	3	0.85	1.10	0.78
Subgroup	Sample area	15	4	1.23	1.39	0.89
	Validation area	9	4	1.17	1.39	0.84
Family	Sample area	15	12	2.33	2.48	0.94
	Validation area	9	17	1.71	1.95	0.88

N: کل نمونه‌ها، S: غنای پروفیلی خاک (تعداد تاکسون‌ها در هر کاتاگوری)، H': شاخص تفرق شانن، H' max: تفرق حداکثر، E: همواری

N: Total samples, S: Richness (Number of taxons in any category), H': Shannon's pedodiversity, H' max: maximum diversity, E: Evenness

جدول ۳) مقایسه آماری تفرق خاک، بین واحد HPu211 موجود در مناطق نمونه و تعمیم برای سطوح مختلف رده‌بندی خاک

Table 3) Statistical comparison of Pedodiversity between HPu211 unit in sample and validation areas in different categories of USDA soil taxonomy

Category	Shannon's diversity		Variance of Shannon's diversity		df	t
	Sample area	Validation area	Sample area	Validation area		
Order	0.576	0.673	0.012	0.005	31	0.74
Suborder	0.576	0.673	0.012	0.005	31	0.74
Great group	0.753	0.853	0.033	0.026	34	0.412
Subgroup	1.234	1.171	0.019	0.029	31	0.286
Family	2.333	1.709	0.032	0.043	32	2.276*

\*: Significant at 5% level of probability

: معنی دار در سطح احتمال ۰.۵٪.

جدول ۴) مقایسه تفرق ژنتیکی شانن در واحد HPu211 موجود در مناطق نمونه و تعمیم برای رده/زیررده‌های مختلف خاک

Table 4) Comparison of Shannon's genetic diversity in sample and validation areas in HPu211 unit for different soil orders/suborders

Location	Order/Suborder	Profile type	n <sub>i</sub>	H'	S	H' max	E
Sample area	Entisols/Orthents	A <sub>p</sub> /C <sub>1</sub> /C <sub>2</sub>	4				
		A <sub>p</sub> /C <sub>1</sub> /C <sub>2</sub> /C <sub>3</sub>	3				
	Inceptisols/Xerepts	A <sub>p</sub> /B <sub>w1</sub> /B <sub>w2</sub> /B <sub>w3</sub> /C	5				
		A <sub>p</sub> /B <sub>w1</sub> /B <sub>w2</sub> /B <sub>w3</sub>	3				
Validation area	Entisols/Orthents	A <sub>p</sub> /C <sub>1</sub> /C <sub>2</sub>	3	0	1	0	0
		A <sub>p</sub> /B <sub>k1</sub> /B <sub>k2</sub> /B <sub>k3</sub>	2				
	Inceptisols/Xerepts	A <sub>p</sub> /B <sub>k1</sub> /B <sub>k2</sub> /C/B <sub>yb</sub>	2	1.04	3	1.1	0.95
		A <sub>p</sub> /B <sub>ws</sub> /B <sub>k</sub> /C	2				

n<sub>i</sub>: تعداد تکرار توالی افق‌ها H': شاخص تفرق شانن، S: غنای خاک‌رخی خاک، H' max: تفرق حداکثر، E: همواری

n<sub>i</sub>: Numbers of horizon's sequence frequency, S: Richness, H': Shannon's pedodiversity, H' max: maximum diversity, E: Evenness

جدول ۵) مقایسه تفرق ژنتیکی شانن در واحد HPu211 موجود در مناطق نمونه و تعمیم برای گروه‌های بزرگ مختلف خاک

Table 5) Comparison of Shannon's genetic diversity in sample and validation areas in HPu211 unit for different soil great groups

Location	Soil great group	Profile type	$n_i$	H'	S	H' <sub>max</sub>	E
Sample area	Xerorthents	A <sub>p</sub> /C <sub>1</sub> /C <sub>2</sub> /C <sub>3</sub> A <sub>p</sub> /C <sub>1</sub> /C <sub>2</sub>	4 3	0.68 0.56	2 2	0.69 0.69	0.98 0.82
	Calcixerpts	A <sub>p</sub> /B <sub>k1</sub> / B <sub>k2</sub> / B <sub>k3</sub> A <sub>p</sub> /B <sub>wss</sub> / B <sub>k</sub> / C	3 1	0.56 0	2 1	0.69 0	0.82 0
	Haploxerepts	A <sub>p</sub> /B <sub>w1</sub> / B <sub>w2</sub> / B <sub>w3</sub>	4	0	1	0	0
Validation area	Xerorthents	A <sub>p</sub> /C <sub>1</sub> /C <sub>2</sub> A <sub>p</sub> /C <sub>1</sub> /C <sub>2</sub> /C <sub>3</sub>	2 1	0.64 0.64	2 2	0.69 0.69	0.92 1
	Calcixerpts	A <sub>p</sub> /B <sub>k1</sub> / B <sub>k2</sub> / B <sub>k3</sub> A <sub>p</sub> /B <sub>wss</sub> / B <sub>k</sub> / C	2 2	0.69 0.69	2 2	0.69 0.69	1 1
	Haploxerepts	A <sub>p</sub> /B <sub>w1</sub> / B <sub>w2</sub> / C A <sub>p</sub> /B <sub>w1</sub> / B <sub>w2</sub> / B <sub>w3</sub>	1 1	0.69 0.69	2 2	0.69 0.69	1 1

جدول ۶) مقایسه تفرق ژنتیکی شانن در واحد HPu211 موجود در مناطق نمونه و تعمیم برای زیرگروه‌های مختلف خاک

Table 6) Comparison of Shannon's genetic diversity in sample and validation areas in HPu211 unit for different soil subgroups

Location	Soil subgroup	Profile type	$n_i$	H'	S	H' <sub>max</sub>	E
Sample area	Typic Xerorthents	A <sub>p</sub> /C <sub>1</sub> /C <sub>2</sub> /C <sub>3</sub> A <sub>p</sub> /C <sub>1</sub> /C <sub>2</sub>	4 2	0.64 0.64	2 2	0.69 0.69	0.92 0.92
	Typic Calcixerpts	A <sub>p</sub> /B <sub>k1</sub> / B <sub>k2</sub> / B <sub>k3</sub> /B <sub>k4</sub> A <sub>p</sub> /B <sub>k1</sub> / B <sub>k2</sub> / B <sub>k3</sub> /B <sub>km</sub>	3 2	0.68 0.68	2 2	0.69 0.69	0.98 0.98
	Fluventic Haploxerepts	A <sub>p</sub> /B <sub>w1</sub> / B <sub>w2</sub> / B <sub>w3</sub> A <sub>p</sub> /B <sub>w1</sub> / B <sub>w2</sub> / C	1 1	0.69 0.69	2 2	0.69 0.69	1 1
Validation area	Gypsic Haploxerepts	A <sub>p</sub> /B <sub>y1</sub> / B <sub>y2</sub> / C	2	0	1	0	0
	Typic Xerorthents	A <sub>p</sub> /C <sub>1</sub> /C <sub>2</sub> A <sub>p</sub> /C <sub>1</sub> /C <sub>2</sub> /C <sub>3</sub>	2 1	0.64 0.64	2 2	0.69 0.69	0.92 0.92
	Typic Calcixerpts	A <sub>p</sub> /B <sub>k1</sub> / B <sub>k2</sub> / B <sub>k3</sub> A <sub>p</sub> /B <sub>k2</sub> / B <sub>k</sub> / C A <sub>p</sub> /B <sub>k</sub> / B <sub>km</sub>	1 1 1	1.10 1.10	3 3	1.10 1.10	1 1
Validation area	Fluventic Haploxerepts	A <sub>p</sub> /B <sub>w1</sub> / B <sub>w2</sub> / C A <sub>p</sub> /B <sub>w1</sub> / B <sub>w2</sub> / B <sub>w3</sub>	1 1	0.69 0.69	2 2	0.69 0.69	1 1
	Vertic Haploxerepts	A <sub>p</sub> /B <sub>wss</sub> / B <sub>k</sub> / C	1	0	1	0	0

ni: تعداد تکرار توالی افق‌ها H': شاخص تفرق شانن، S: غنای خاک‌رخی خاک، E: همواری

$n_i$ : |Numbers of horizon's sequence frequency, S: Richness, H': Shannon's pedodiversity, H'<sub>max</sub>: maximum diversity, E: Evenness

بیشتر است.  
در سطح گروه‌های بزرگ، گروه بزرگ Xerorthents، بالاترین تفرق ژنتیکی را در منطقه نمونه به خود اختصاص داده است؛ در حالی که گروه بزرگ Haploxereps که کمترین میزان تفرق را در منطقه نمونه دارد؛ ولیکن در منطقه تعمیم همراه با دو گروه بزرگ

ردبندی مختلف موجود در دو منطقه مزبور نشان می‌دهد. نتایج به دست آمده در این زمینه، با نتایج مطالعه تفرق واحدهای نقشه خاک در اسپانیا توسط /یبانز و همکاران (۱۹۹۵) و نیز اطلاعات کسب شده از مطالعه تفرق خاک‌های دره زاینده- رود در اصفهان توسط تومانیان و همکاران (۲۰۰۶) مطابقت دارند. شکل ۲ تفرق ژنتیکی شانن را برای واحد HPu211 موجود در مناطق نمونه و تعمیم، در سطوح رده/زیررده خاک، گروه بزرگ، زیرگروه و فامیل خاک مقایسه نموده است.  
در سطح رده/زیررده خاک، تفرق انتی‌سول‌های موجود در منطقه نمونه، بیشتر از اینسپتی‌سول‌ها است؛ در حالی که در منطقه تعمیم، نتیجه تفرق محاسبه شده، بر عکس منطقه نمونه می‌باشد، به عبارت دیگر در منطقه تعمیم تفرق اینسپتی‌سول‌ها

جدول ۷) مقایسه تفرق ژنتیکی شانن در واحد HPu211 موجود در مناطق نمونه و تعمیم برای فامیل‌های مختلف خاک

Table 7) Comparison of Shannon's genetic diversity in sample and validation areas in HPu211 unit for different soil family

Location	Soil family	Profile type	$n_i$	$H'$	S	$H'_{max}$	E
Sample area	Loamy-skeletal, mixed (calcareous), superactive, mesic Typic Xerorthents(A)	$A_p/C_1/C_2/C_3$ $A_p/C_1/C_2$	3 1	0.56	2	0.69	0.81
	Loamy-skeletal, mixed(calcareous), mesic Typic Xerorthents(B)	$A_p/C_1/C_2/C_3/C_4$	2	0	1	0	0
	Fine-Loamy, mixed(calcareous), superactive,mesic Typic Calcixerepts(C)	$A_p/B_{k1}/B_{k2}/B_{k3}/B_{k4}$	2	0	1	0	0
	Fine-Loamy, mixed, superactive, mesic Typic Calcixerepts(D)	$A_p/B_{k1}/B_{k2}/B_{k3}/B_{km}$	2	0	1	0	0
	Fine, mixed, superactive, mesic Gypsic Haploxerepts(E)	$A_p/B_{y1}/B_{y2}/C$	1	0	1	0	0
	Fine, mixed, superactive, mesic Typic Calcixerepts(F)	$A_p/B_k/CB_k/B_{km}$	2	0	1	0	0
	Loamy-skeletal, mixed (calcareous), superactive, mesic Typic Xerorthents(G)	$A_p/C_1/C_2$	2	0	1	0	0
	Fine-loamy, carbonatic, mesic Typic Calcixerepts(H)	$A_p/B_k/C$ $A_p/B_{k1}/B_{k2}/CB_k$	1 2	0.63	3	1.10	0.57
	Fine-loamy, mixed, superactive, mesic Fluventic Haploxerepts(I)	$A_p/B_{w1}/B_{w2}/B_{w3}$	1	0	1	0	0
	Fine-loamy, mixed, superactive, mesic Typic Calcixerepts(D)	$A_p/B_{k1}/B_{k2}/B_{k3}/B_{k4}$	1	0	1	0	0
Validation area	Fine, mixed, superactive, mesic Vertic Calcixerepts(J)	$A_p/B_{ws}/B_k/C$	1	0	1	0	0
	Fine, mixed, superactive, mesic Fluventic Haploxerepts(K)	$A_p/B_{w1}/B_{w2}/B_{w3}$ $A_p/B_{w1}/B_{w2}$	1 1	0.69	2	0.69	1
	Fine-loamy, mixed(calcareous), superactive, mesic Typic Calcixerepts(C)	$A_p/B_{k1}/B_{k2}/B_{k3}/B_{k4}$	2	0	1	0	0
	loamy-skeletal, mixed(calcareous), superactive, mesic Typic Xerorthents(B)	$A_p/C_1/C_2$	2	0	1	0	0
	Fine, carbonatic, mesic Typic Calcixerepts(L)	$A_p/B_k/C$	1	0	1	0	0

:تعداد تکرار توالی افقها H': شاخص تفرق شانن، S: غایی خاک‌رخی خاک، E: همواری

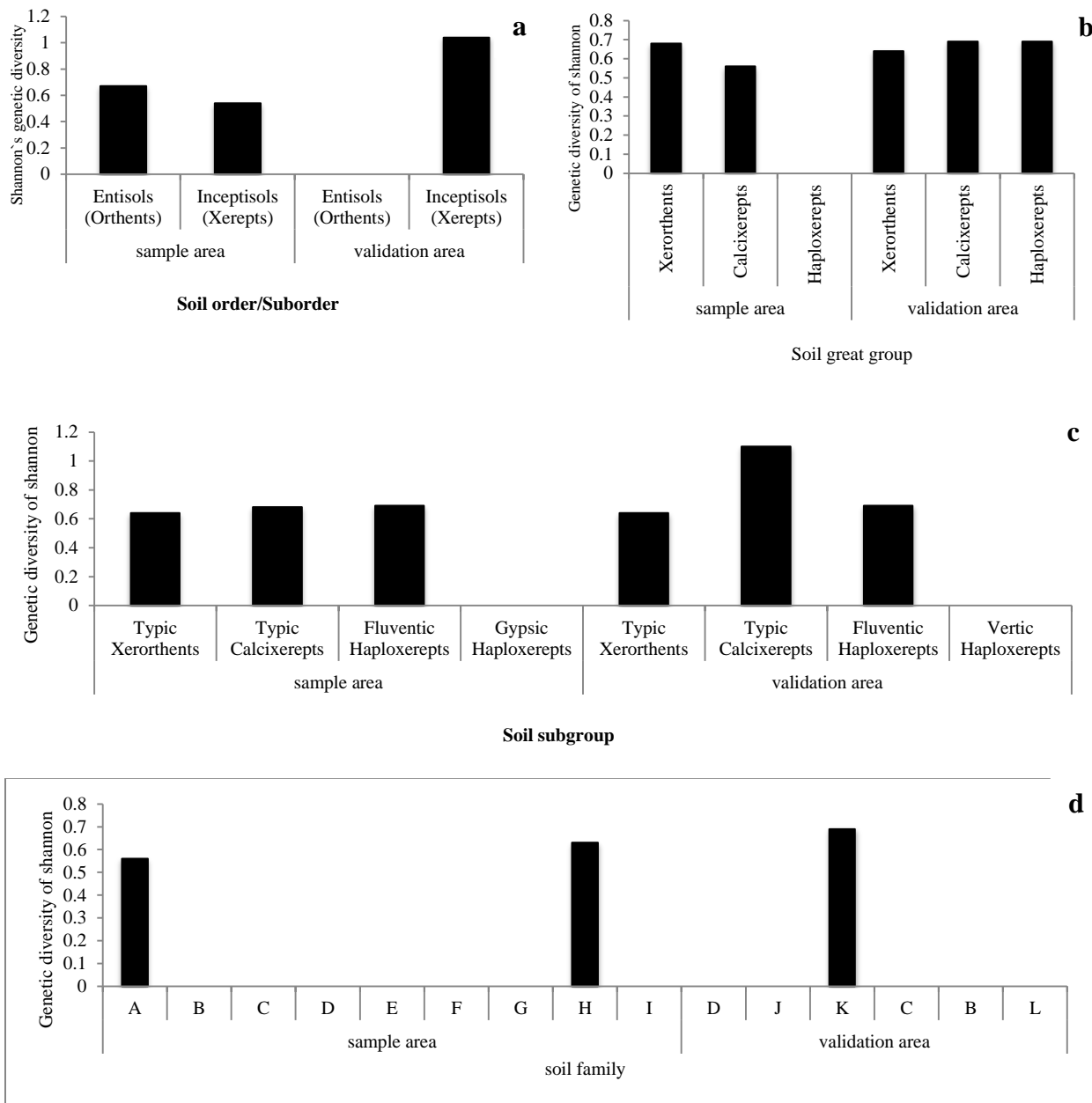
$n_i$ : |Numbers of horizon's sequence frequency, S: Richness,  $H'_{max}$ : maximum diversity, E: Evenness

\*: به منظور سهولت ترسیم نمودار تفرق ژنتیکی، هر فامیل با یک حرف لاتین نمایش داده شده است.

\*:To ease charting the genetic diversity, every family with a Latin letter is displayed.

مطالعه در مناطق نمونه و تعمیم، بررسی تفرق ژنتیکی سلسله‌مراتب رده‌بندی خاک ارایه شده در اشکال ۲ تا ۵، وجود تفاوت‌هایی را در اطلاعات دریافتی از نوع خاک‌ها و تغییرپذیری آن‌ها آشکار می‌سازد. تنها تا سطح گروه بزرگ، نوع خاک‌های موجود در منطقه نمونه و منطقه تعمیم یکسان هستند اما در تفرق ژنتیکی آنها، حتی در بالاترین سطوح، در مناطق مزبور تفاوت مشاهده می‌شود.

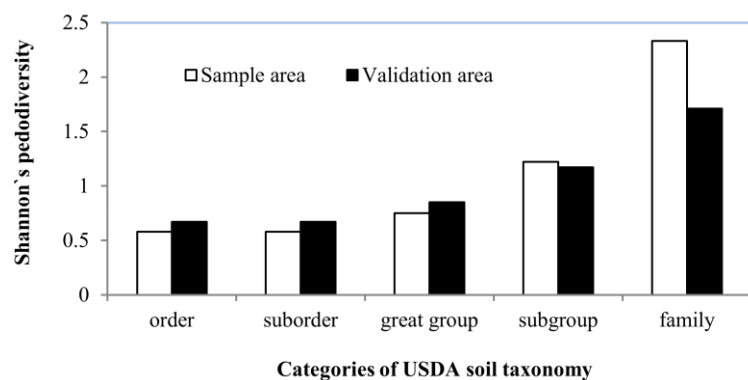
Xerorthents و Calcixerepts از مقدار تفرق ژنتیکی برابر و بالایی برخوردار می‌باشند. در سطح زیرگروه‌های خاک، زیرگروه Fluventic Haploxereps، Gypsic Haploxereps، به ترتیب، دارای بیشترین و کمترین میزان تفرق ژنتیکی در منطقه نمونه هستند؛ لیکن در منطقه تعمیم، زیرگروه Typic Calcixerepts از بالاترین میزان تفرق ژنتیکی برخوردار است و سه زیرگروه Fluventic Haploxerepts و Typic Xerorthents Haploxerepts به ترتیب پایین‌ترین میزان تفرق ژنتیکی را دارند. در سطح فامیل خاک، شش خاک (A, F, E, H, G, D) در منطقه نمونه مطالعه و شناسایی شدند که این خاک‌ها هرگز در منطقه تعمیم رویت نشدند. به علاوه، سه فامیل جدید خاک (J, K و L) در منطقه تعمیم تشخیص داده شدند که قبلاً در منطقه نمونه مشاهده نشده بود. این سه فامیل خاک متعلق به اینسپکتی‌ها می‌باشند و نکته جالب این که فامیل K، بیشترین تفرق ژنتیکی را در دو منطقه به خود اختصاص داد. در منطقه نمونه نیز فامیل H بیشترین تفرق را داشت. در نتیجه، علی‌رغم مشابهت واحد ژئومرفیک مورد



شکل ۲) مقایسه تفرق ژنتیکی شانن در مناطق نمونه و تعمیم برای سطوح مختلف ردهبندی خاک، رده یا زیررده (a)، گروه بزرگ (b)، زیرگروه (c) و خانواده (d)

Figure2) Comparison of Shannon's genetic diversity in sample and validation areas for different categories of USDA soil taxonomy order or suborder (a), great group (b), subgroup (c) and family (d)

وجود یا عدم وجود پوشش رسی، میزان رس و رس و درصد کربنات کلسیم که از دیدگاه رده‌بندی خاک-ها مهم هستند و گاهی نیز می‌توانند باعث تفاوت‌های فاحش، حتی در سطح راسته، شوند، باعث می‌شود که چنین خاک‌هایی از نظر مدیریتی و کاربردی مشابه باشند. بنابراین، احتمال آن وجود دارد که تعمیم-پذیری مدیریتی در این روش، حتی در مقیاس تفصیلی بتواند پاسخگوی نیازهای مربوط باشد. بدین منظور، خلوص تفسیری یا مدیریتی واحدهای ژئوپدولوژیک بایستی در تحقیقات بعدی مورد توجه واقع شوند.



شکل ۱) مقایسه واحد HPu211 موجود در مناطق نمونه و تعمیم بر اساس شاخص تفرق شانن برای سطوح مختلف رده‌بندی خاک

Figure 1) Comparison of HPu211 within the sample and validation areas using Shannon index in different categories of USDA soil taxonomy

**نتیجه‌گیری کلی** رده‌بندی پروفیل‌های حفر شده در منطقه تعمیم با پروفیل‌های شاهد منطقه نمونه در سطح فامیل خاک متفاوت می‌باشد. هچنین موقعیت منطقه نمونه، تأثیر قابل توجهی بر رده‌بندی خاک‌ها، نوع واحد نقشه و میزان تعمیم پذیری واحدهای مشابه دارد. بنابراین، تعمیم پذیری تاکسونومیکی نتایج ژئوپدولوژی برای لندفرم‌های مشابه، نمی‌تواند الگوی خوبی را در رابطه با مدیریت منطقه، به دست دهد. لیکن وجود تفاوت‌های جزئی در مقدار ویژگی‌هایی نظیر درصد سنگریزه،

## References

- Anonymous (1993) Soil Survey Manual, Soil Survey Staff, Handbook 18, Government printing Office Publishers, Washington DC.
- Anonymous (2014) Keys to Soil Taxonomy (12<sup>th</sup> edition) Soil Survey Staff, Natural Resources Conservation Service, National Soil Survey Center, United States Department of Agriculture, Lincoln, Nebraska.
- Dent D, Young A (1981) Soil survey and land evaluation. Georg Allen and Unwin Publishers: London.
- Esfandiarpoor Borujeni I, Toomanian N, Salehi M H Mohammadi J (2009) Assessing Geopedological Soil Mapping Using Diversity and Similarity Indices (A case study: Borujen area, Chaharmahal-Va-Bakhtiari Province). Journal of Water and Soil 23(4): 100-114. [in Persian with English abstract]
- Guo Y, Gong P, Amundson R (2003) Pedodiversity in the United States of America. Geoderma 117: 99-115.
- Hutcheson K (1970) a test for comparing diversities based on the Shannon formula. Journal of Theoretical Biology 29: 151-154.
- Ibanez JJ, De Alba S, Bermudes FF, Garsia-Alvarez A (1995) Pedodiversity: concepts and measurements. Catena 24: 215-232.
- Ibanez JJ, De Alba S, lobo A, Zucarello V (1998) Pedodiversity and global soil patterns at coarse scales (with discussion). Geoderma 83: 171-214.
- Magurran AE (2004) Measuring biological diversity. Blackwell Publishing: Oxford.
- McBratney AB, Minasny B (2007) On measuring pedodiversity. Geoderma. 141: 149-154.

11. Rossiter, DG (2000) Lecture notes and reference methodology for soil resource inventories. Second revised version, Institute for aerospace survey and earth sciences (International Institute for Geo-Information Science and Earth Observation), Enschede.
12. Rossiter DG, Girma A, Henneman R, Siderus W ( 2001) Summary of investigation, 1997-2000 by ITC. Technical report, International Institute for Geo-Information Science and Earth Observation. Soil Science Division, Netherlands, 31pp.
13. Saldana A, Ibanez JJ (2004) Pdodiversity analysis at large scales: An example of there fluvial terrain of the Henares River (Central Spain) Geoderma 62: 123-138.
14. Schoenberger PJ, Wysocki DA, Benham EC, Broderson WD (2012) Field Book for Describing and Sampling Soils (3<sup>rd</sup> edition.) Natural resources Conservation Service, National Soil Survey Center, Lincoln, Nebraska.
15. Sharma VAk (2006) Mapping of the Soil. Science Publishers: New Hampshire.
16. Toomanian N, Jalalian A, Khademi H, Eghbal Mk, Papritz A (2006) Pedodiversity and pedogenesis in Zayandeh-rud valley, Central Iran. Geomorphology 81: 376-393.
17. Udomsri S (2006) Application of computer assisted geopedology to predictive soil mapping and its use in assessing soil erosion prone areas: a case study of Doi Ang Khang, Ang Khang Royal Agricultural Station, Thailand. Master Thesis, International Institute for Geo-Information Science and Earth Observation (ITC), Enschede, The Netherlands.
18. Western S (1978) Soil survey contracts and quality control. Clarendon Press: Oxford, England.
19. Wolda H (1981) Similarity indices, sample size and diversity. Oecologia 50: 296-302.
20. Zhu JX, Hudson B, Burt J, Lubich K, Simonson D (2001) Soil mapping using GIS, expert knowledge and fuzzy logic, Soil Science Society of American Journal 65: 1463-1472.
21. Zinck JA (1989) Physiography and soils, Lecture notes for soil students. Soil Science Division, Soil survey courses subject matter, K6 ITC, Enschede, The Netherlands.

# Performance of geopedology approach in mapping of agricultural soils within Aidoghmoosh dam downstream lands in Miyaneh, Iran



Agroecology Journal

Volume 12, Issue 1, pages: 9-23  
spring, 2016

Naser Nazari\*

Assistant professor of Soil Science Department  
Agriculture and Natural Resources Faculty  
Miyaneh Branch  
Islamic Azad University  
Miyaneh, Iran

Email ✉: nas.nazari@gmail.com  
(\*corresponding author)

Shahla Mahmoodi

Professor of Soil Science Department  
Tehran University and Science and  
Research Branch  
Islamic Azad University  
Tehran, Iran

Email ✉: smahmodi@ut.ac.ir

Mohammad Hasan Masihabadi

Assistant Professor  
Soil and Water Research Institute  
and Science and Research Branch  
Islamic Azad University  
Tehran, Iran

Email ✉: hmasih@yahoo.com

---

Received: 04 October 2015

Accepted: 08 March 2016

**ABSTRACT** The geopedological method is one of the systematic methods for analyzing geomorphic surfaces in soil mapping in which field work is mainly based on work in the sample area. This research intended to investigate the degree of validity generalization of results obtained in the geopedological method for similar landforms in the Miyaneh region of East Azarbaijan Province. For this purpose, soil diversity study was conducted through measuring it in a hierarchical sequence in USDA soil taxonomy levels and by comparing similar units in the geopedological method through employing diversity and similarity indices. After preparing the initial interpretative map (based on aerial photographs) at a scale of 1:20000, the HPu211 unit that covered the greatest delineation of study area was selected and 15 soil profiles, about 150 meters apart, were excavated, described, and sampled in this unit. The degree of validity generalization of geopedological results for the mentioned unit was determined by digging nine other soil profiles in a similar unit, called the generalization area, which was located outside of the sample area. Results indicated the value of Shannon's diversity index increased from the level of soil order to soil family in both the sample and the generalization areas; however, only at the soil family level were there significant differences between soil diversity in the two areas at the confidence level of 95%. Even by changing the understanding level, and through concentrating on the sequence of genetic horizons in the excavated profiles in the sample and generalization areas, increased soil diversity in the soil taxonomic hierarchy was proved. Therefore, it is recommended that landform phases be used, and soil family phase and/or soil series phase be determined for each landform phase, to increase the accuracy of the geopedological method.

---

**Keywords:**

- generalization area
- geomorphic surfaces
- landform
- sample area
- soil diversity
- soil map